

In-GPU-memory MOLAP aggregation using CUDA Dynamic Parallelism

Donnerstag, 23. Juli 2015
Abschlusskolloquium

Albert-Ludwigs-Universität Freiburg



UNI
FREIBURG

Jérôme Meinke
Student im Studiengang BSc. Informatik

Albert-Ludwigs-Universität Freiburg
Jedox AG, Freiburg

Thema & Motivation



- **Thema:**
 - MOLAP-Aggregation mithilfe von GPUs
- **Kontext:**
 - In-memory OLAP-Server von Jedox AG
 - interaktives Mehrbenutzer-Szenario
 - Schreiben & Lesen zu jeder Zeit
 - „on-the-fly“-Berechnung
- **Motivation:**
 - Ist Beschleunigung auf GPU durch Funktion CDP möglich?
 - Wenn ja, wie?

1. Technischer Hintergrund

GPU-Architektur und CUDA

MOLAP-Aggregation mithilfe von GPUs

CUDA Dynamic Parallelism

2. Einsatz von CDP

Probleme und Lösungen

3. StOAP

4. Testmethoden

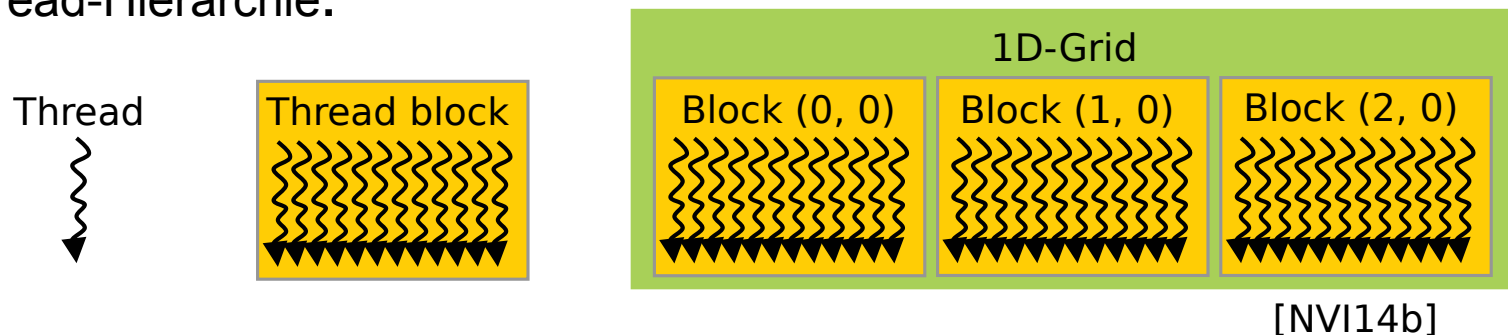
5. Ergebnisse & Erkenntnisse

6. Future Work

GPU-Architektur und CUDA



- Begriffe: **host** (→ CPU) und **device** (→ GPU)
- CUDA-Kernel (sequentielles Programm) in **SIMT**-Kontext
 - 1 Warp → 32 Threads
 - Maskierung von aktiven und inaktiven Threads → **Divergenz**
- Thread-Hierarchie:

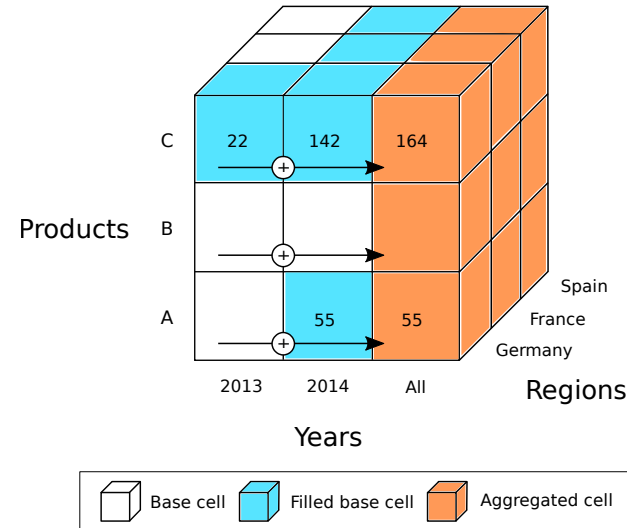
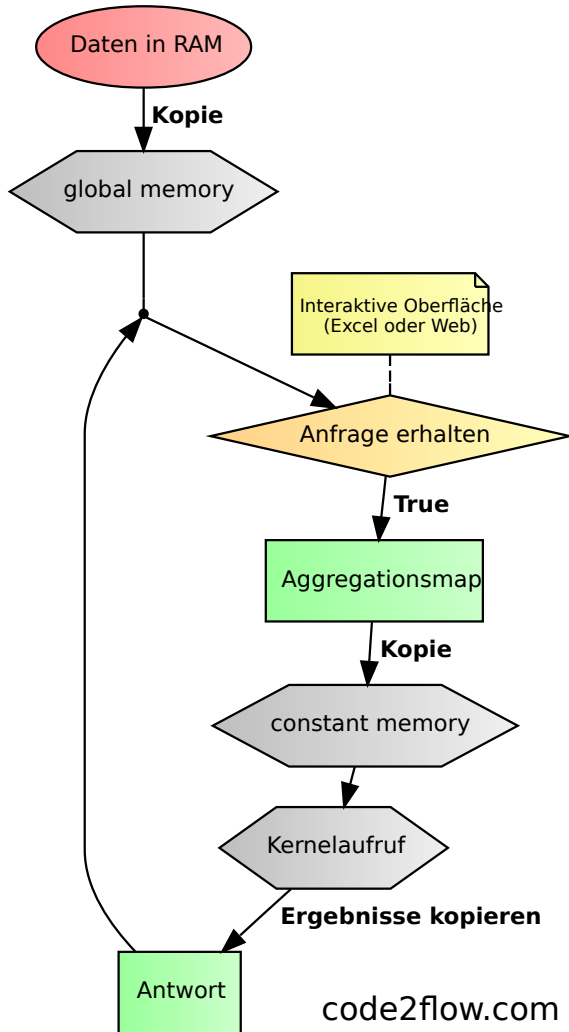


- Speicher-Unterteilung:
 - **Global**
 - **Constant**
 - **Shared (+ Local)**

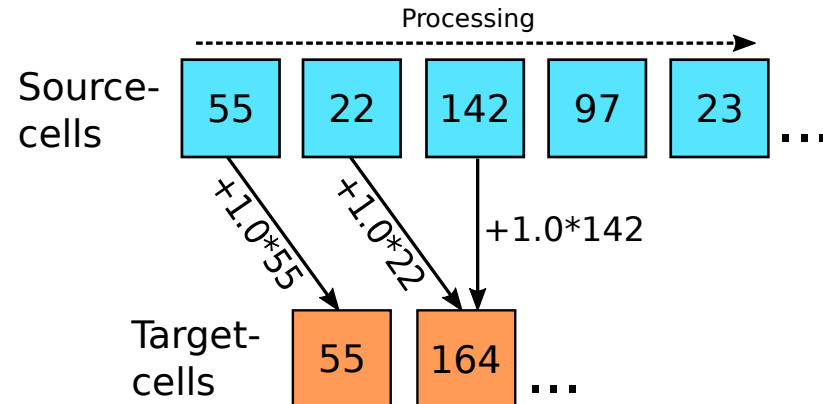
MOLAP-Aggregation mithilfe von GPUs



Ablauf bei Anfrageerhalt



Methoden: zielbasiert od. quellbasiert



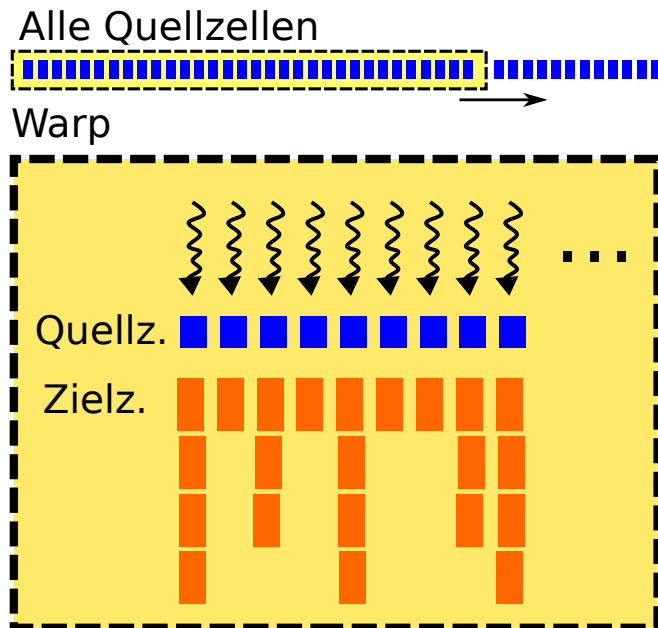
Möglichkeit, einen Kernel aus einem anderen zu starten

- **Vorteile:**
 - kein Umweg über *host*
 - Ausnutzen von "dynamischem Parallelismus"
- **Nachteile:**
 - relativ viele Einschränkungen
 - Individuell: Kosten für Erkennen von zusätzlichem Parallelismus

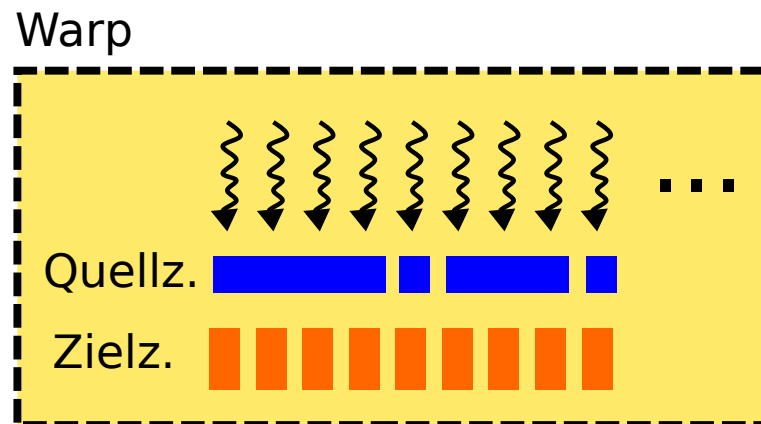
Einsatz von CDP (1/2)



- Flaschenhals im urspr. Kernel:
 - Unterschiedlich viele *Zielzellen pro Quellzelle*...
 - „*idle*“ Threads innerhalb der Warps (**Divergenz**)
 - suboptimale Nutzung der Rechenleistung



Idee: Umverteilung der Arbeit in neuem Kernel → **Child**



Einsatz von CDP und umverteiltes Schreiben der Zielzellen:

Problem	Lösung
Kernel-Aufruf-Kosten	Aufruf nur pro Parent-Block
Parent-Child Informationsfluss	Berechnung und Reservierung von Speicher für Zielzellzahlen
Parent-Child Ausführung	explizite Synchronisierung (CUDA Funktion) nach Child-Call
Addressierung der Quellzellen	Übergabe per Aufrufparameter + Berechnung
Auswahl Zielzelle im Child-Thread	Upper-Bound-Search in Prefix-Sum

= **Single-threaded OLAP Aggregation Processor**:

- für fairen Vergleich von **CPU** (*sequentiell*) und **GPU** (*parallel*)
- lädt Jedox-Datenbanken (read-only)
- Code auf GitHub (github.com/jmeinke/StOAP)

- Google's dense hash map für Cube-Daten
 - schnell, aber spezialisierte DS für MOLAP besser
 - im Web keine **freien + dokumentierten** Implementierungen, die ohne Erweiterung benutzbar wären
- Optimierung mittels **Poor man's profiling**
 - einfach, trotzdem 5x schneller als vorher

Wie wurde getestet?



- **Test-Datenbanken und Anfragen:**
 - Demo-DB (281 Mio. Einträge)
 - Machines-DB (41 Mio. Einträge)
 - Anfragen: 3x versch. Bereichsgrößen (Klein, Mittel, Groß)
 - bei GPU: Preaggregation aktiv/inaktiv
- **Korrektheit der Ergebnisse:**
 - Anpassung Perl-Skript „PerfTest“ für StOAP (I/O)
- **Performance:**
 - Bash-Skripte für Senden von Requests
 - extra Log-Einträge im Server-Code
 - jeweils opt. Zahl paralleler Hashfunktionen (Serientests)
 - dann Durchschnitt von 10 Wdh.

- **GPU vs. StOAP:** GPU 16x-218x schneller
- **allgemein gültige Aussagen schwierig**
 - Performance abhängig von Query, Cube-Struktur, #PHF, benutztem Tesla-Modell und Kernel-Scheduling
- **CDP-Auswirkung:**
 - ohne Preaggregation: „Mittel & Groß“ 22% schneller
 - mit Preaggregation: alle im Ø 42% langsamer
 - Spezialfall:
 - 364% bzw. 372% schneller (o/m Preaggregation)

Fazit: Methode hat Potenzial, aber eine Weiche fehlt noch
→ sie würde die **Dynamik** bringen, die in CDP enthalten ist

- **Möglichkeit 1:** für die Unterscheidung CDP ja/nein:
 - 1 Parent-Kernel + 2 verschiedene Child-Kernel
 - Parent-Kernel (***device***) stellt Varianz fest und wählt Child
- **Möglichkeit 2:** wie 1., aber mit nur einem Child
(alte Funktionsweise zusätzlich im Parent)
- **Möglichkeit 3:**
 - Struktur letzter Dimension des Cubes relevant
 - Analyse der Anfrage ggü. Cube-Struktur
 - Entscheidung durch ***host***

Ende des Vortrags



**UNI
FREIBURG**

Fragen?

Bibliographie & Quellenverzeichnis



- [Eic13] Susanne Eichel. “Parallele Berechnung großer spärlich besetzter aggregierter Bereiche mit Hilfe von Grafikprozessoren”. MA thesis. Albert-Ludwigs-Universität Freiburg im Breisgau, Sept. 2013
- [NVI13] NVIDIA. NVIDIA’s Next Generation CUDA Compute Architecture: Kepler GK110. Whitepaper. Jan. 2013. URL: <http://www.nvidia.com/content/PDF/kepler/NVIDIA-Kepler-GK110-Architecture-Whitepaper.pdf>
- [NVI14b] NVIDIA. CUDA C Programming Guide. PG-02829-001. Version 6.5. NVIDIA Corporation, Aug. 2014. URL: http://docs.nvidia.com/cuda/pdf/CUDA_C_Programming_Guide.pdf

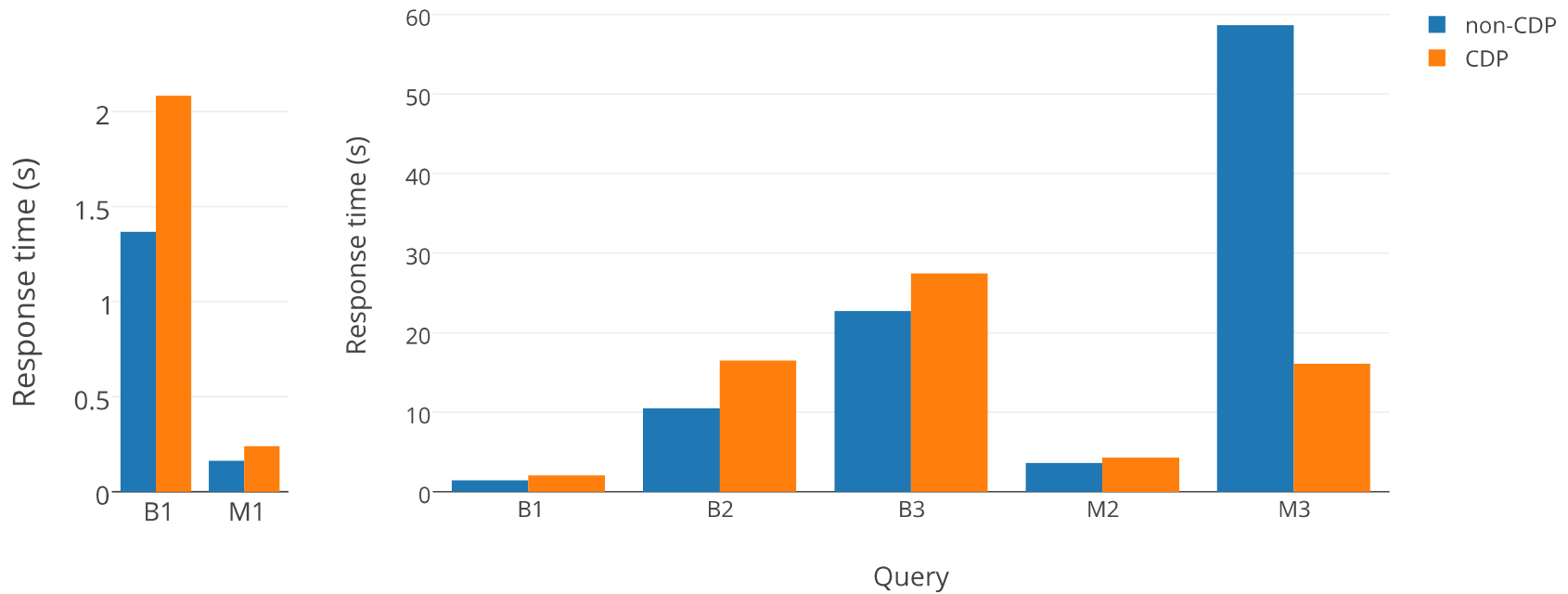
Infos zu Anfragen



Table 5.1.: Test-query properties

Query	Source cells Relevant	Target cells	
		Filled	Overall
B_1	281057088	1	1
B_2	281057088	228	228
B_3	281057088	17460	17460
M_1	41294400	1	1
M_2	6216000	2519	2519
M_3	29534400	13971	874437

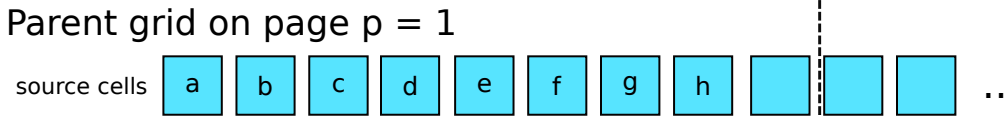
Ausführungszeiten



Beispiel: CDP-Kernel (Parent)



global memory



compute target cell numbers

block 0

$T_{i,1}$



$N_{i,1}$



fill array in shared memory

S_i



parallel scan

step 1



step 2



step 3



copy S to D in global memory

D_i



compute launch parameters and call child kernel

childKernel<<< b_c, t_c >>>(D, p, o)

cudaDeviceSynchronize()

Variablen:

T = Thread Index

N = Anzahl Zielzellen

S = Shared M. Array

D = Global M. Array

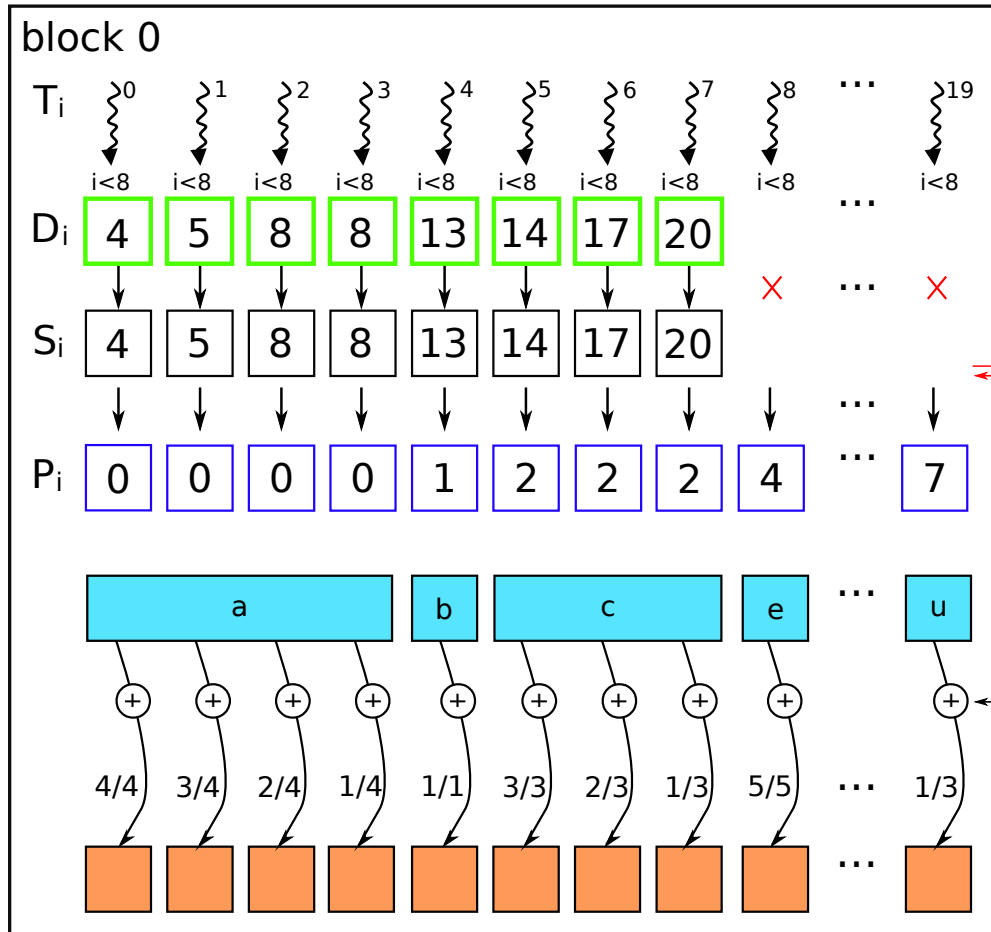
p = Page Index

o = Page Offset

Beispiel: CDP-Kernel (Child)



Child block 0 on page p = 1



copy D_i for $i < b$
to shared mem

search for i in S
yields thread id
of the parent

retrieve value of
source cell P_i

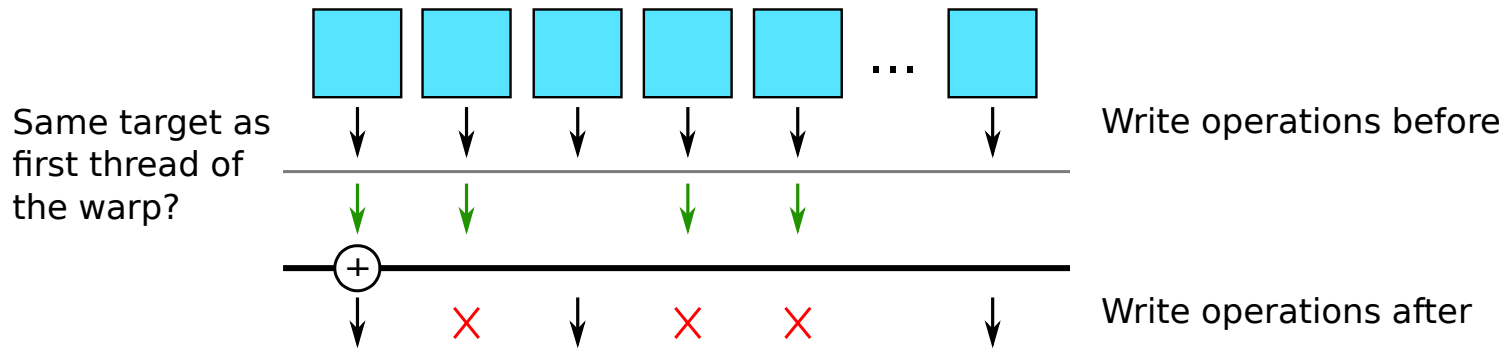
get coordinates
of the individual
target cell $S_{P_i} - i$

add value to the
specified target

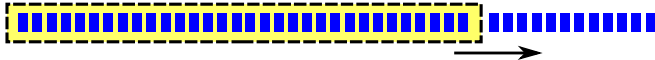
$\text{syncthreads}()$

$\text{atomicAdd}()$

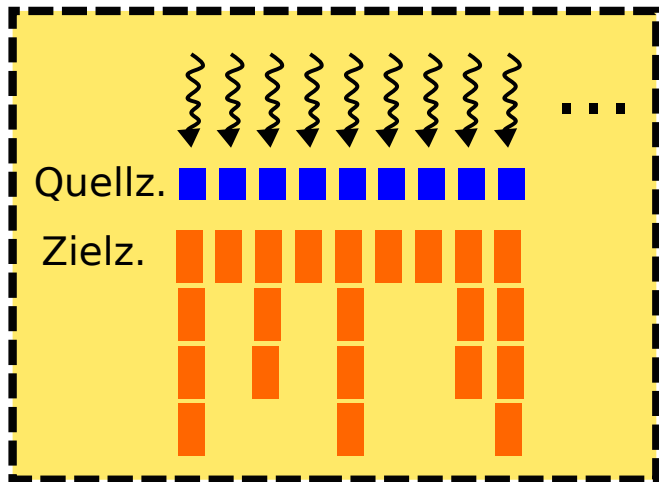
Urspr. Warp-Preaggregation



Alle Quellzellen

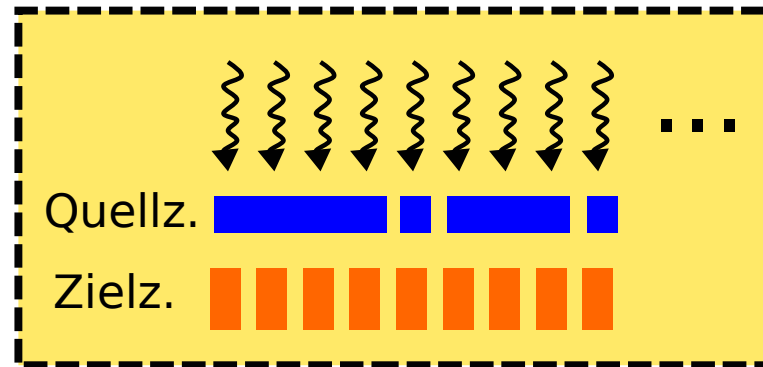


Warp



Greift in Child-Kernel nicht mehr

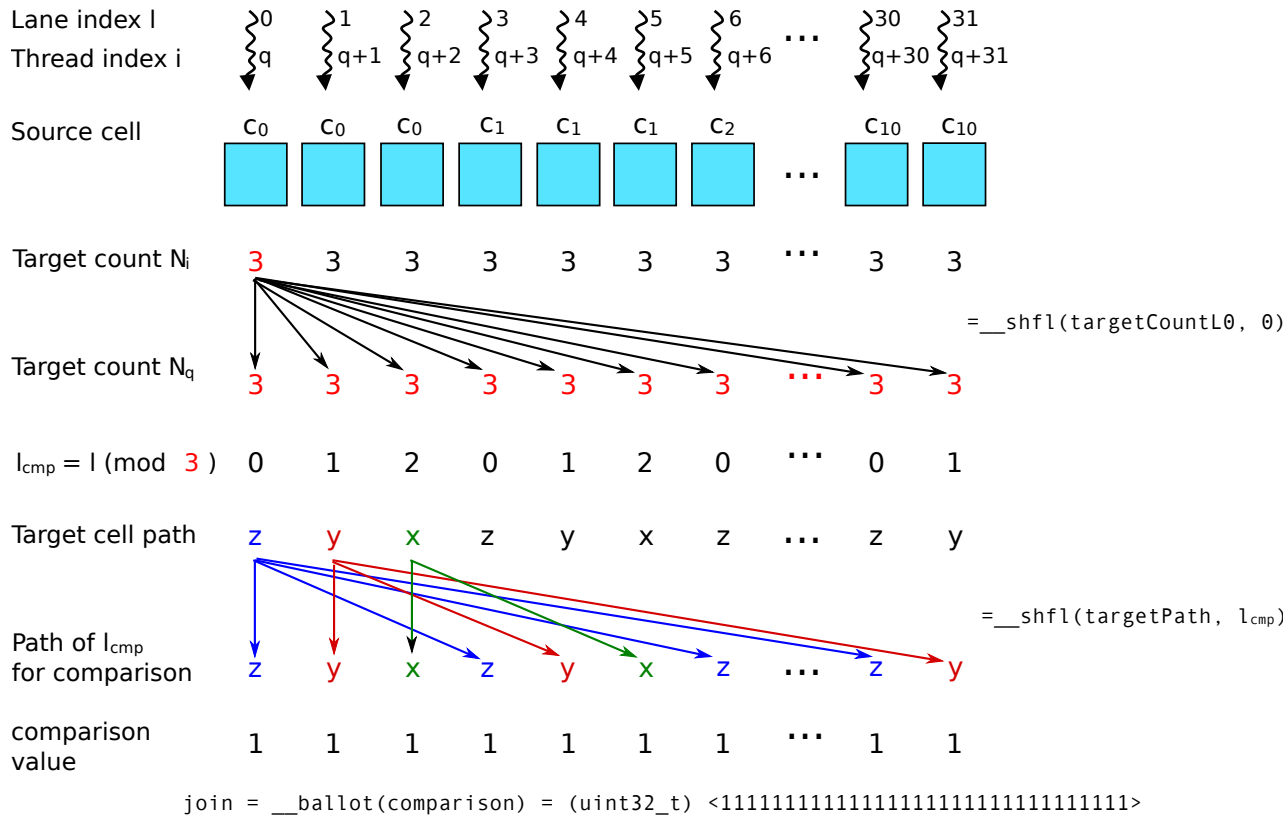
Warp



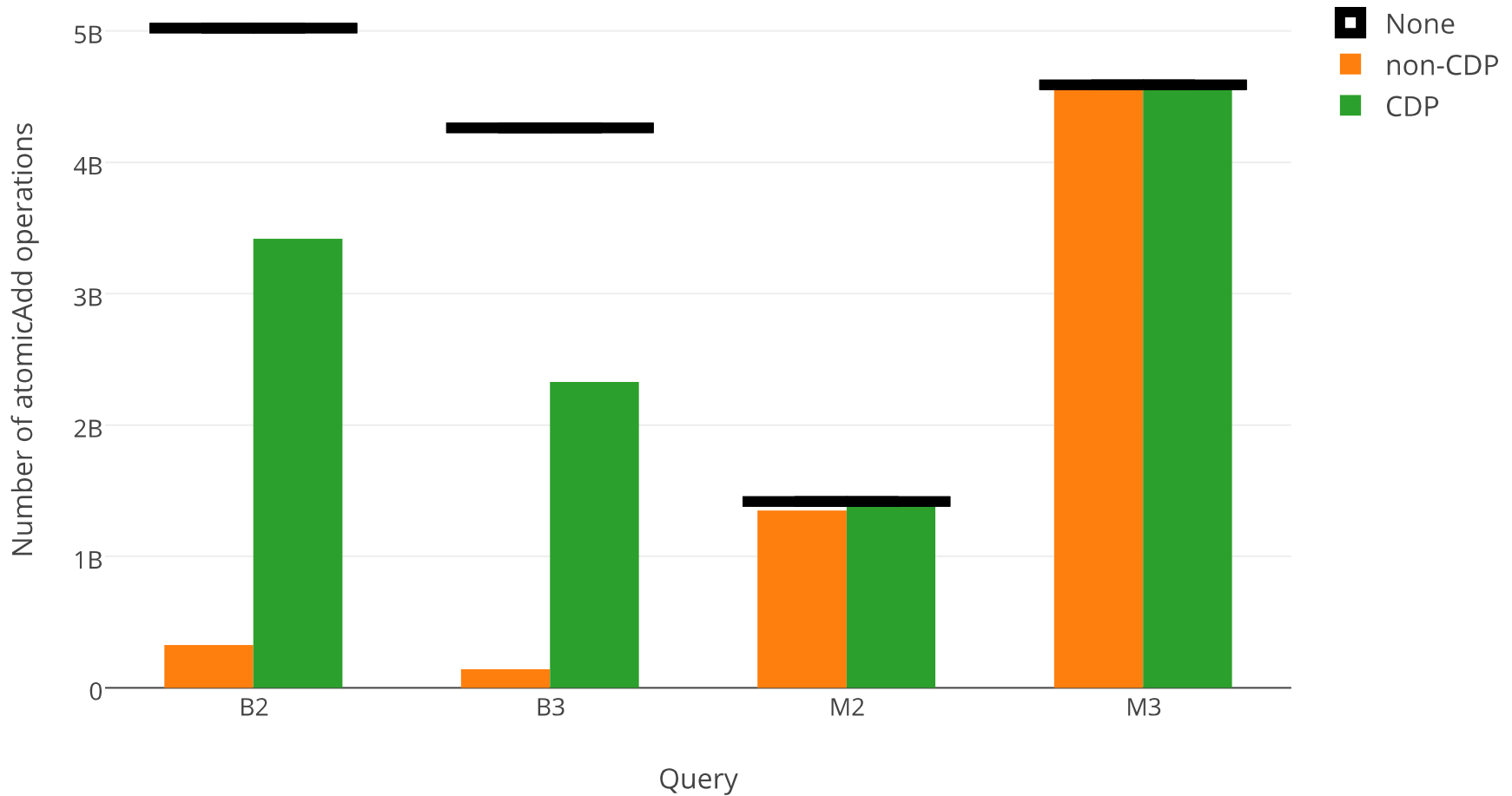
Warp-Preaggregation in Child



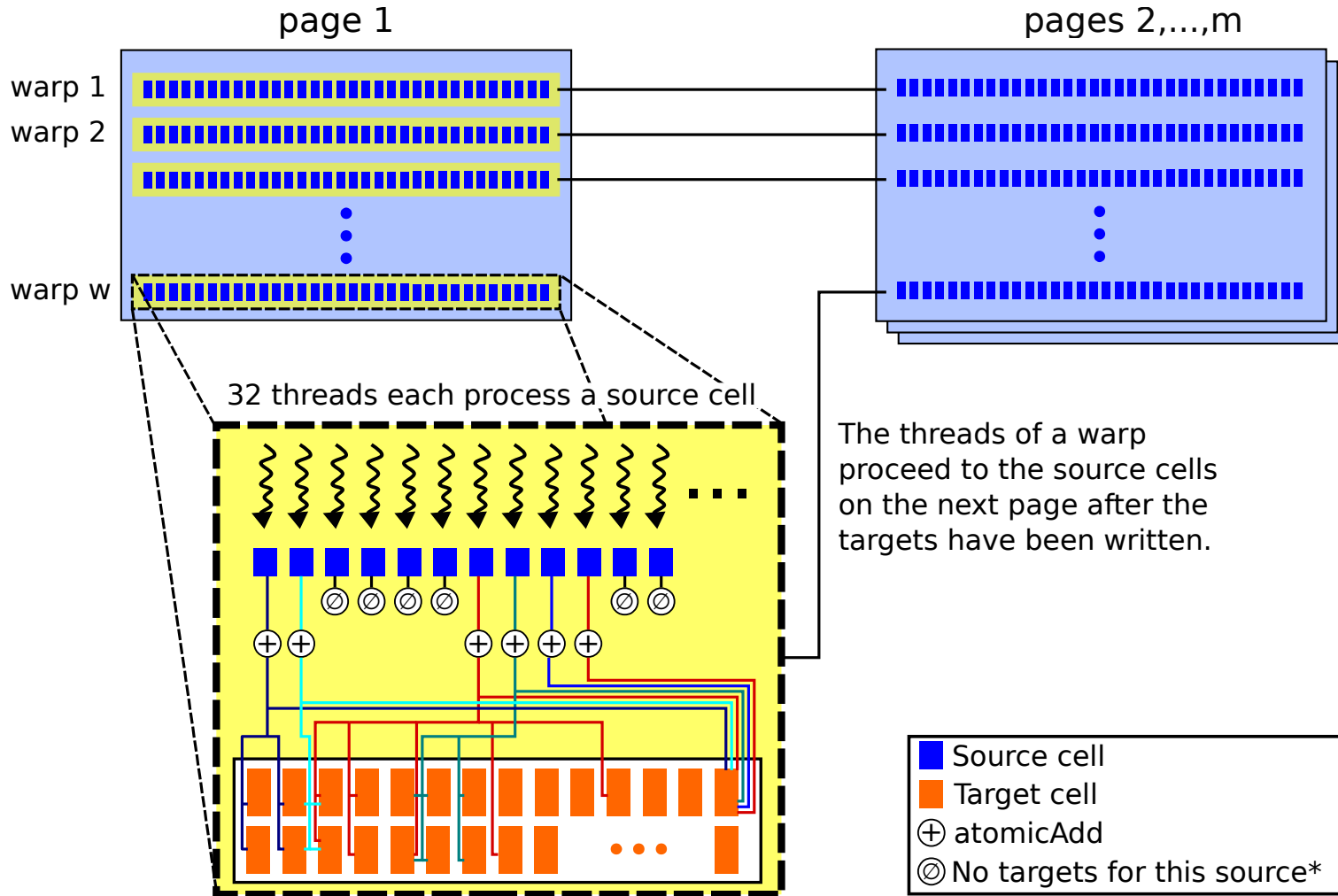
Neue Methode: Warp-Preaggregation



Effizienz der Warp-Preaggregation



Ursprünglicher Kernel

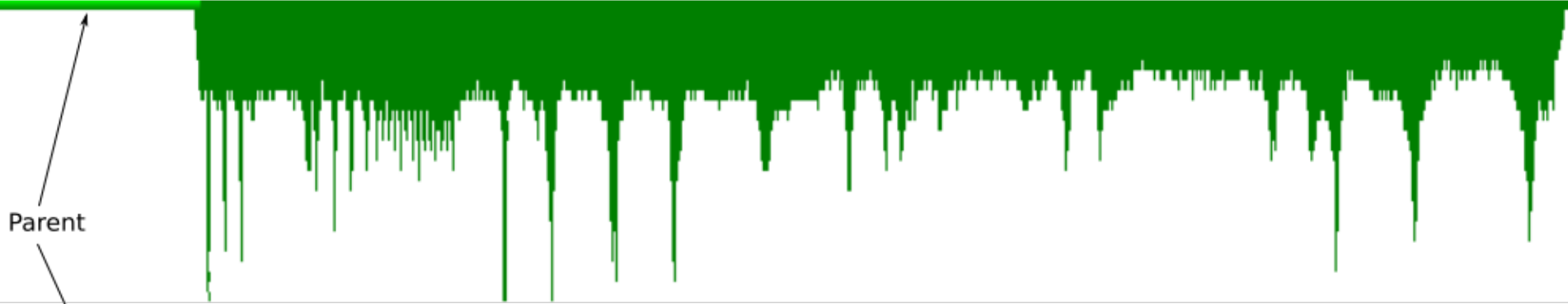


*Source cells without target cells only occur when the prefilter step is omitted.

Visual profiler output (Grid sizes)



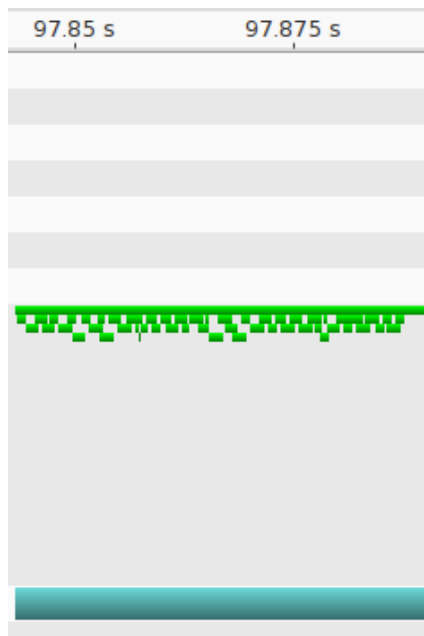
a) Children with dynamic grid size



b) Children with grid size 1

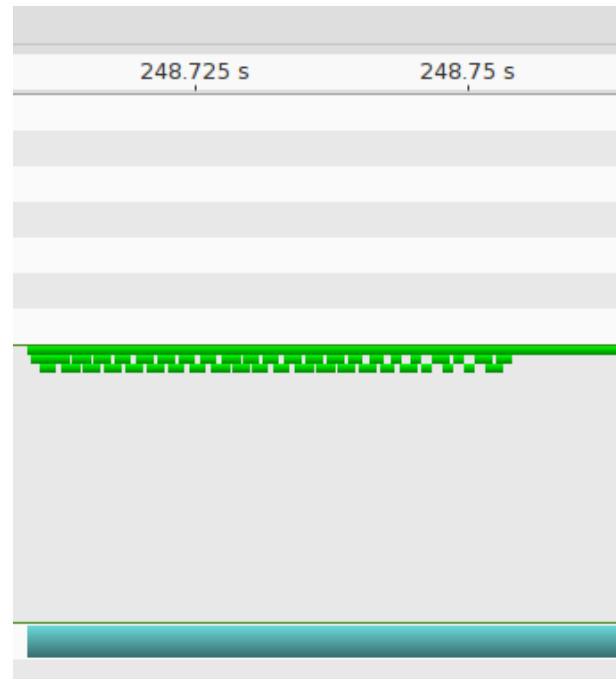


Visual profiler output (Grid sizes)



Child grid has multiple blocks

VS.



Child grid has only 1 block